

宮崎大学工学部 正員 太田 俊昭

“ ”。中次隆雄

“ 学生員 石 近 大 道 ”

1. さえがき

鋼管は、比較的大きな形状係数や、断面性能の無方向性などの優れた力学特性から、特に鋼管に付する溶接技術確立によって、近年、大型構造物、特に長大アーチ橋、大型鉄塔および橋基礎などに多く用いられるようになり、また、

一般にこのような構造物は、その主構成部材に曲がりモーメントと振りモーメントを同時に受けける場合が多く、1点からて、その合理的な設計を行なうためにには、これらの2要素を考慮した弾塑性理論による耐力の算定や、破壊メカニズムを明らかにする必要がある。

本研究は、鋼管の断面に生じる円周方向のせん断応力を一定とみなし、ひずみ増分理論用いて、曲げモーメント-曲率および振りモーメント-振り率の関係を解明することを目的としたもので、最終的に、この関係式を用いて、上記の組合せ負荷を受ける鋼管構造物の変形特性や、破壊強度を解析せんとするものである。

2. 基礎理論

図-1(A)に示す一樣刃薄肉鋼管部材に、Z軸まわりの曲げモーメントMとY軸まわりの振りモーメントTが作用する場合、せん断ひずみγ、せん断応力σ_qおよび垂直応力σ_zは、一般に次式で表わされる。

$$f^a = \partial\phi/\partial s + \omega a, \quad T = g f^a = g a \omega, \quad \sigma = E E = E \psi \bar{\psi} \dots \quad (1)$$

2: 15 ϕ : 斜面 a warping, ω : 单位捩力率,

a : 摂り中心からの距離, E : ヤンツ率,

G : 倣弾性係数, ε : 垂直ひずみ, ψ : 曲率, $y (= a \sin \theta)$: 中立軸からの距離, s : 断面に沿った円周方向の軸.

$$\bar{M} = 2(1+\nu)\pi\bar{\psi}, \quad \bar{T} = 2\pi\bar{\omega} \quad \dots \quad (2)$$

$$\bar{M} = M/ka^2t, \quad \bar{\psi} = \epsilon a\psi/k, \quad \bar{T} = T/ka^2t, \quad \bar{\omega} = \epsilon a\omega/k,$$

k : 降伏応力, t : 鋼管の内厚, ν : ポアソン比, $dA = atd\theta$: 微小面積.

次に、断面の一部が塑性域に入った場合の、いかゆる弾塑性応力状態についても同様の誘導が可能で、図-1(b)に示す応力状態を参考して、所要の円柱より引いたそれを次式で与えられる。

$$\bar{M} = 2(1+\nu)(\pi + \sin 2\alpha - 2d)\bar{\Psi}, \quad \bar{T} = 2\pi T/k \quad \dots \quad (3)$$

式(4)における α は塑性域を表すパラメータで、Mises の降伏条件式から導かれる α 、薄肉鋼管の場合には、 $\sigma_x = \sigma_y = 0$ 、 $\sigma_z = \sigma$ 、 $T_{xy} = T_{yz} = 0$ であり、 $T_{xx}^2 + T_{yy}^2 = T^2$ とおけば、結局 Mises の条件式は次のように簡単化される。 $\bar{\sigma}^2/3 + \bar{\tau}^2 = 1$ ここで $\bar{\sigma} = \sigma/k$ 、 $\bar{\tau} = T/k$ (4)

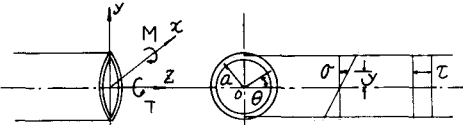
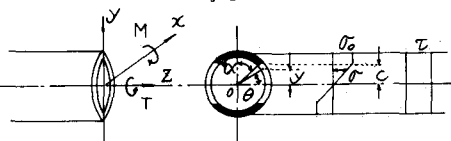


图-1(a)



- i (b)

また、図-1(b)を式(1)を参照し、中立軸から塑性域までの長さを C で表わせば、垂直応力 $\bar{\sigma}$ は次のようにえられる。

$$\bar{\sigma} = E \psi c / \kappa = 2(1+\nu) \cos \alpha \cdot \bar{\tau} \quad (5)$$

よって、式(3), (4)および(5)を用いて、次のように求められる。

$$\cos^2 \alpha = (1 - \bar{\tau}^2 / 4\pi^2) / \kappa \bar{\tau}^2, \quad \kappa = 4/\pi \cdot (1+\nu)^2 \quad (6)$$

また、式(2)を用いて弾性限界時の曲げモーメント M_0 および捩りモーメント T_0 を求め、式(4), (5)を用いて変形すれば、弾性限界時の相互作用曲線式が次のようにえられる。

$$4/\pi \cdot M_0^2 + T_0^2 = 4\pi^2 \quad (7)$$

さらに、完全塑性に達した時 ($\alpha = \pi/2$) の曲げモーメントを M_∞ 、捩りモーメントを T_∞ とすれば同様にして完全塑性時の相互作用曲線式が次式で求められる。

$$\pi^2/2 \cdot M_\infty^2 + T_\infty^2 = 4\pi^2 \quad (8)$$

次に、Reuss の方程式を用いて捩り率の誘導を行なう。周知のように Reuss の方程式は、次の式で与えられる。

$$\dot{\epsilon} = g_E \cdot \dot{\omega} + \dot{\theta}/E, \quad \dot{\theta} = 2\tau \dot{\lambda} + \dot{\tau}/G = 2\dot{\phi}/G + \dot{\omega} \alpha \quad (9)$$

ここに、 $\dot{\epsilon}$: 垂直ひずみ増分、 $\dot{\omega}$: セン断ひずみ増分、 $\dot{\theta}$: 垂直応力増分、

$\dot{\tau}$: セン断応力増分、 α : 正の比例定数、 $\dot{\omega}$: 捣り率増分

warping の円周方向 s の全積分が零であることを考慮すれば、式(9)の第2式より捩り率増分が、次式で求められる。

$$\dot{\omega} = \bar{\omega} + \bar{\tau} f(\bar{\omega}) \quad (10)$$

これに、

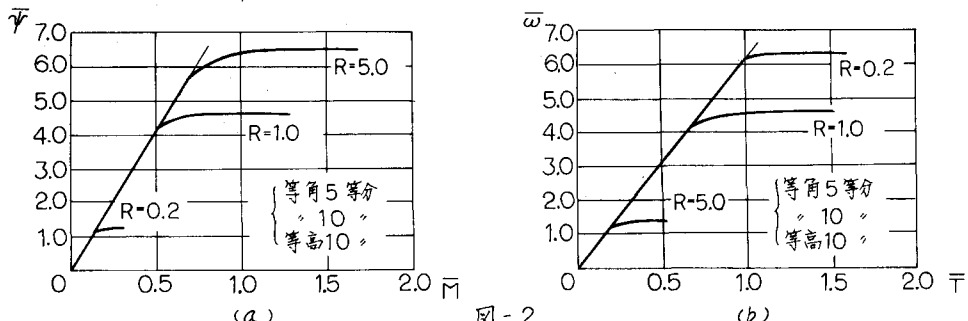
$$\bar{\omega} = 4\pi \dot{\omega} / \kappa, \quad \bar{\tau} = 4\tau, \quad f(\bar{\omega}) = g_E \bar{\omega} ds / \pi \alpha$$

また、 $\bar{\omega}$ は式(1)の Reuss の方程式および式(4)の Mooney の降伏条件式を用いて、次のように求められる。

$$\bar{\omega} = \frac{\bar{\sigma} \cdot \bar{\epsilon} + 3G/E \cdot \bar{\tau} \bar{\theta}}{2G \bar{\theta}^2 + 6G/E \bar{\tau}^2} \quad \therefore \bar{\tau} = 4\bar{\epsilon}/\kappa, \quad \bar{\theta} = 4\bar{\sigma}/E \quad (11)$$

3. 算例

円管の点対称性および外力 (M, T)、対称性を考慮し、4分の1円をそれぞれ等角度5等分、等角度10等分および等高10等分した場合の $R (= M/T)$ のそれぞれの値に対する M - T 曲線および $\bar{\tau}$ - $\bar{\omega}$ 曲線を図-2(a)および(b)に示す。この図から断面の分割数による精度上の誤差は0.1%以内である。 $T < R$ のとき、分割数は5等分で十分であることが判明した。



参考文献 1) R.H.Hill and M.P.L.Siebel: On Combined Bending and Twisting of Thin Tubes in the Plastic Range, Philosophical Magazine, vol XLII, 1951

2) M.C.Steele: The Plastic Bending and Twisting of Square Section Members, Jour. Mech. Phys. Solids, vol 3, 1955